

Fig. 3

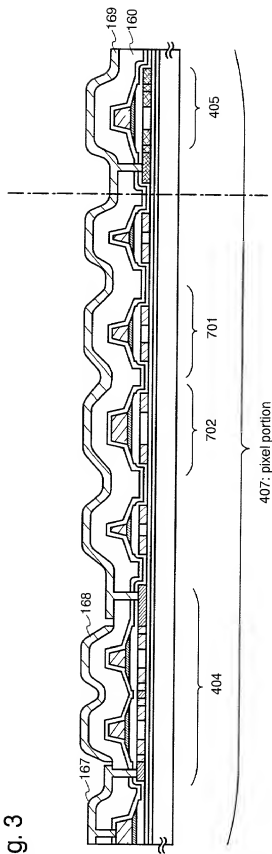


Fig. 4

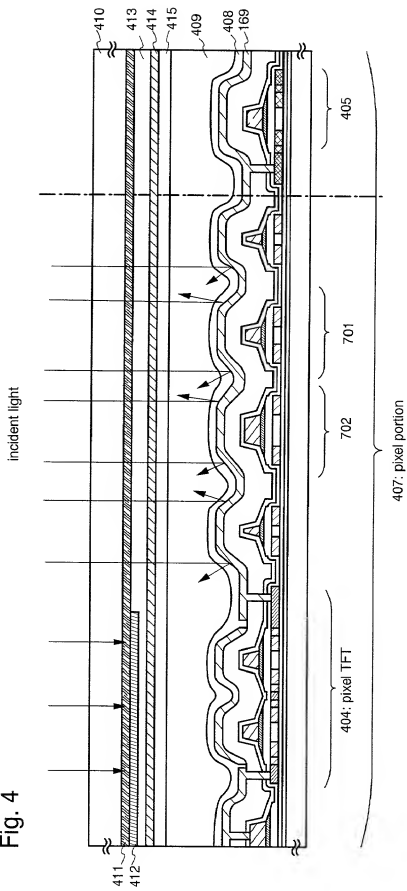


Fig. 5

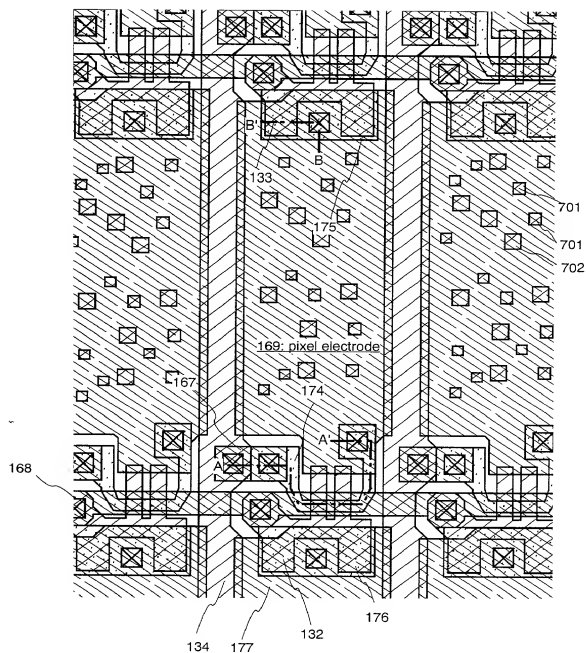




Fig. 6A

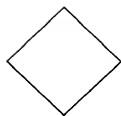


Fig. 6B



Fig. 6C

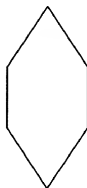


Fig. 6D



Fig. 6E

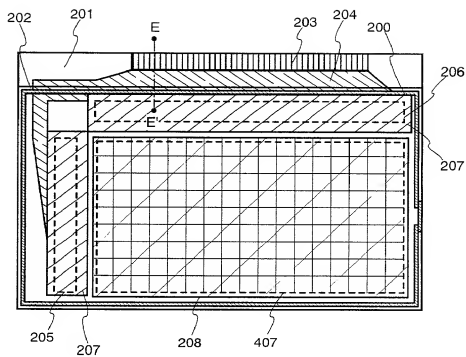


Fig. 6F



Fig. 6G

Fig. 7



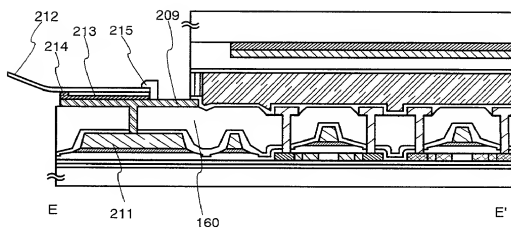


Fig. 8A cross sectional view of E-E'

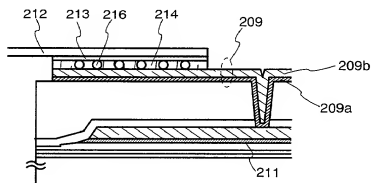


Fig. 8B





Fig. 10A

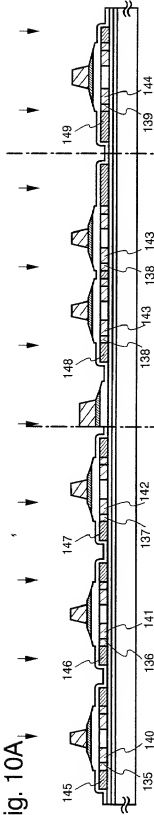


Fig. 10B

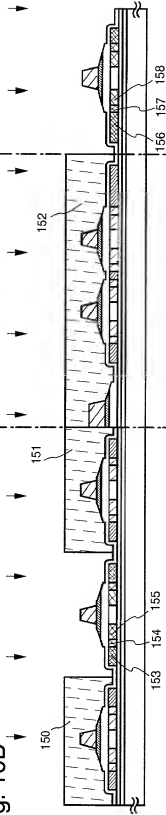


Fig. 10C

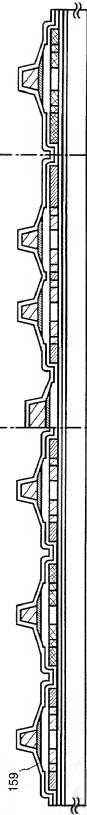


Fig. 11

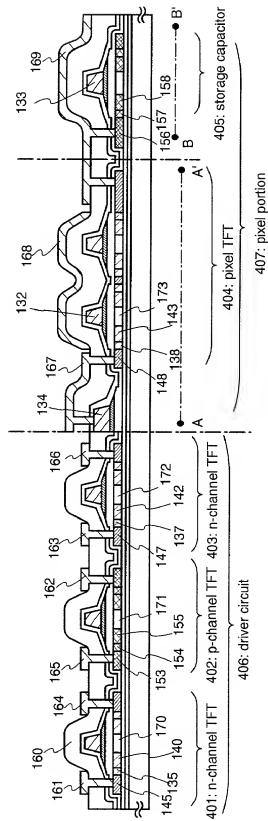
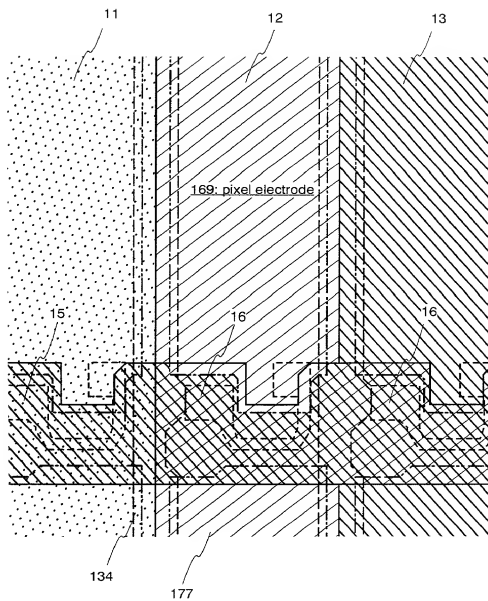


Fig. 12



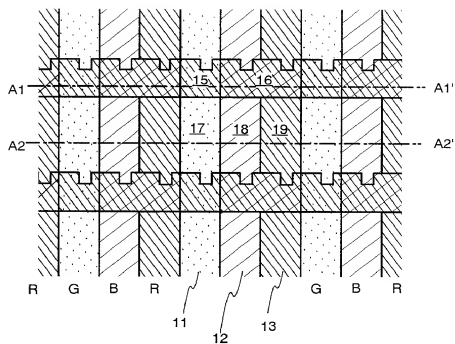


Fig. 13A

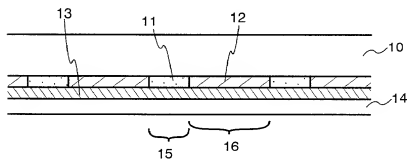


Fig. 13B cross sectional view of A1-A1'

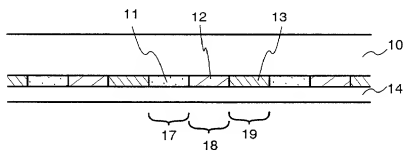


Fig. 13C cross sectional view of A2-A2'

Fig. 14A

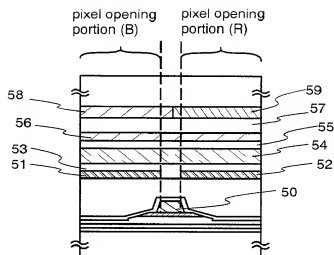


Fig. 14B

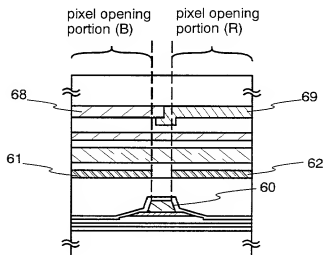
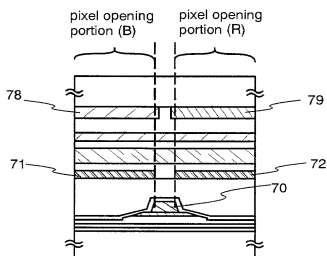


Fig. 14C



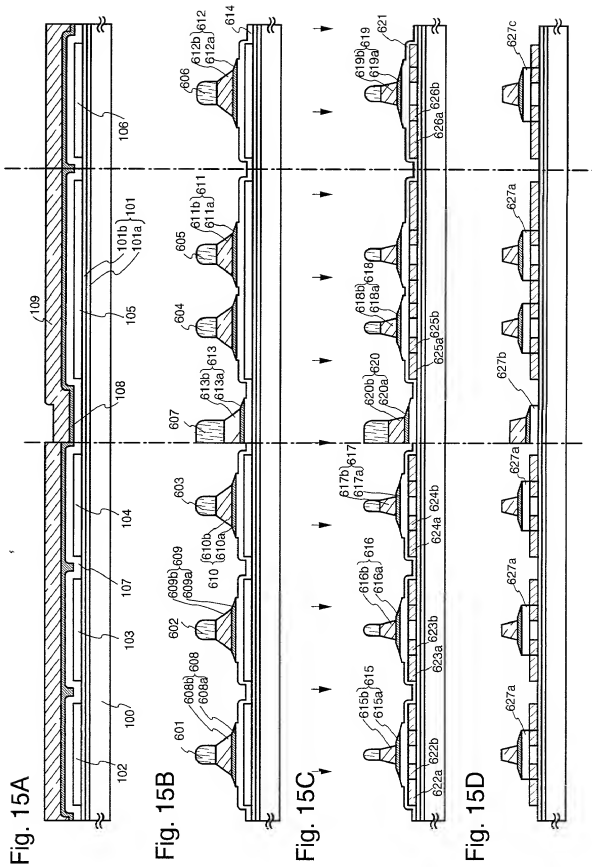


Fig. 16A

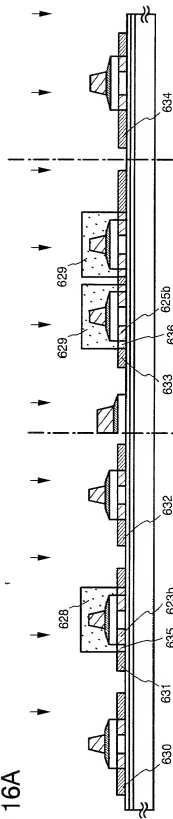


Fig. 16B

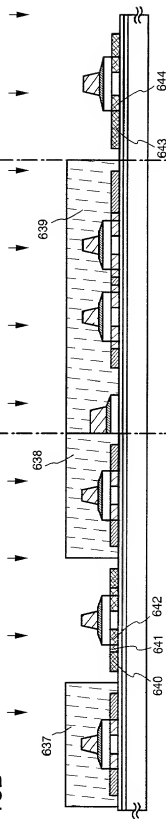


Fig. 16C

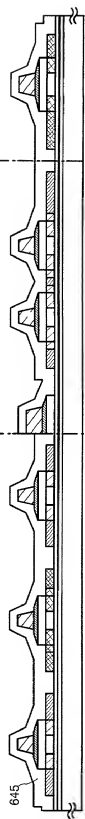




Fig. 17

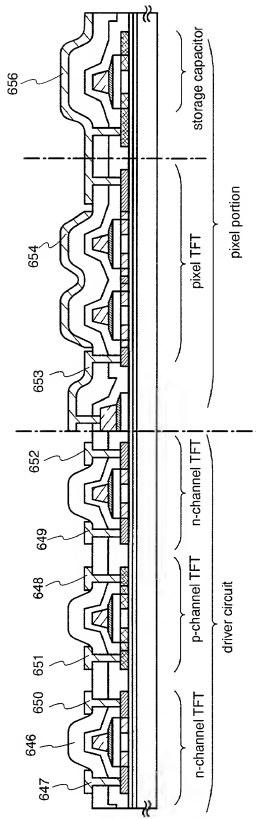


Fig. 18A

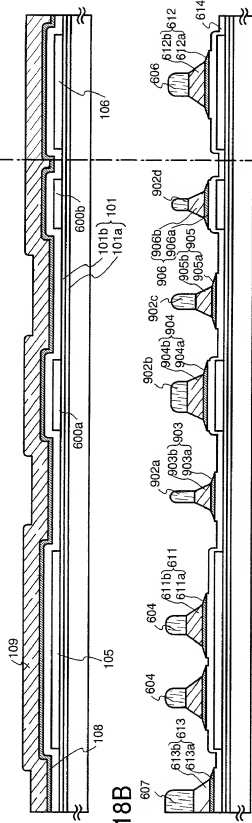


Fig. 18B

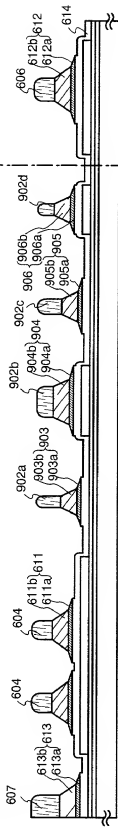


Fig. 18C

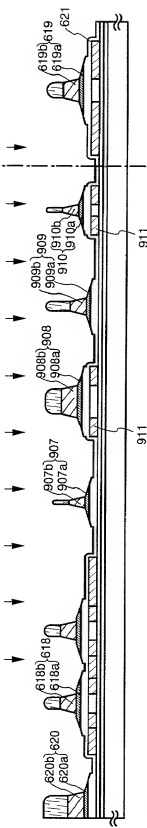
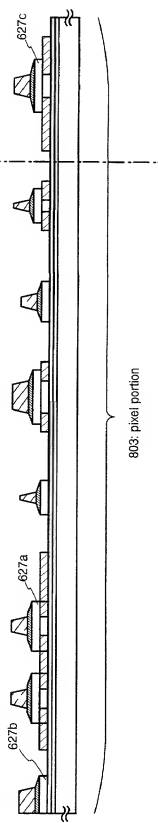


Fig. 18D



803: pixel portion

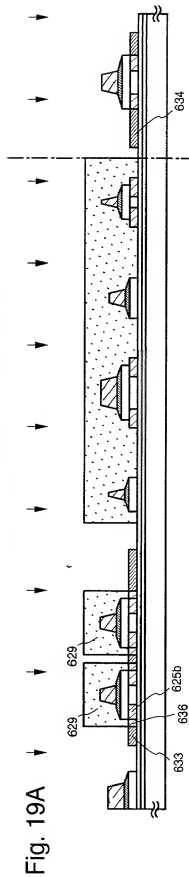


Fig. 19B

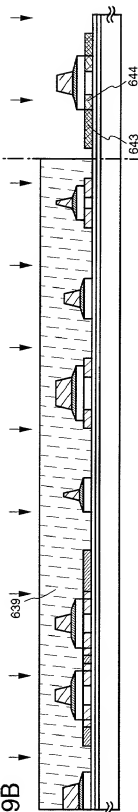


Fig. 19C

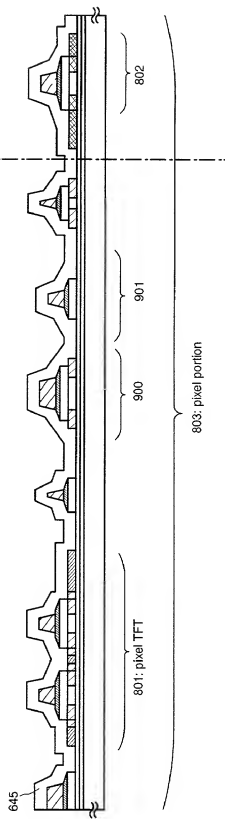
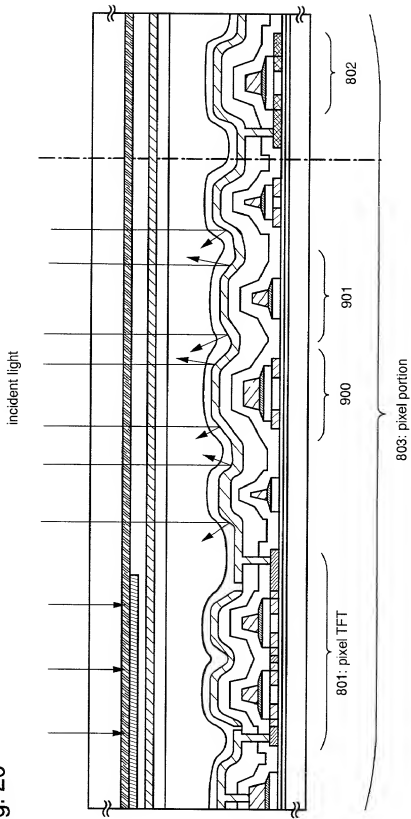


Fig. 20



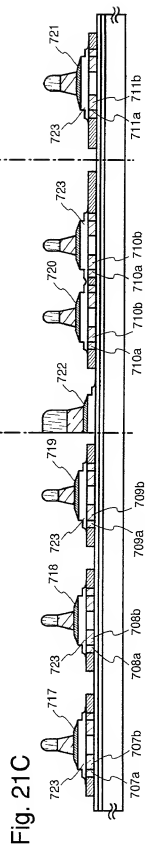
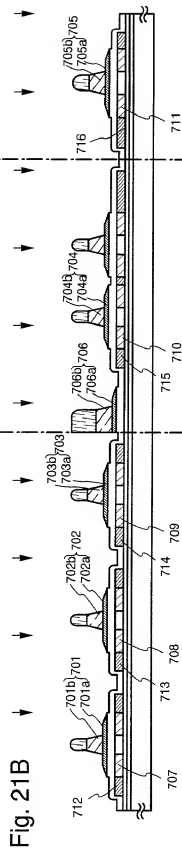
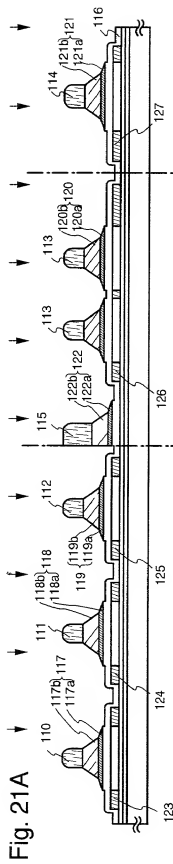


Fig. 22A

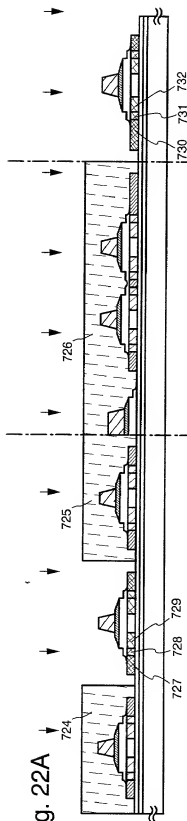


Fig. 22B



Fig. 22C

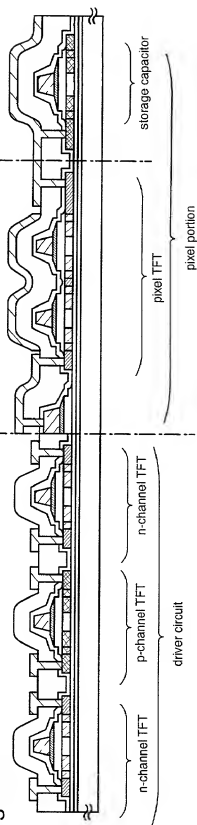




Fig. 24

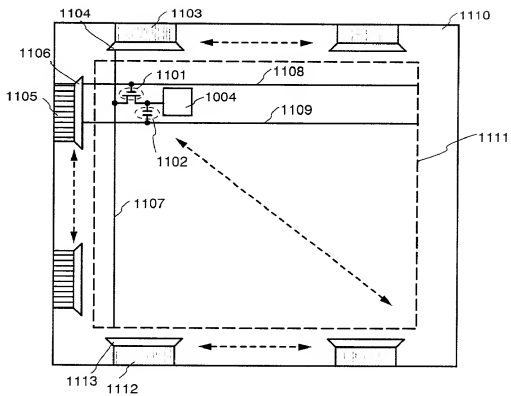




Fig. 25

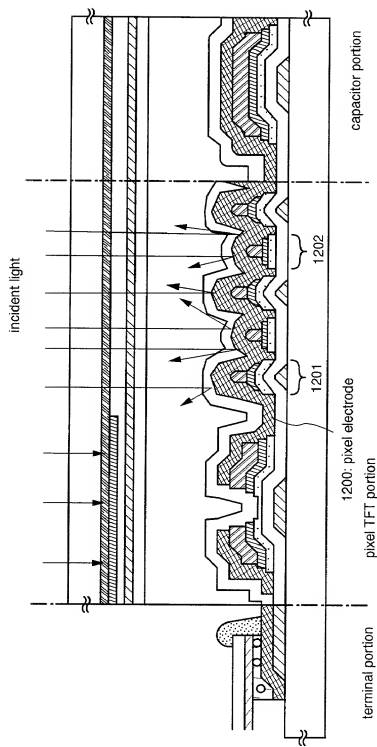
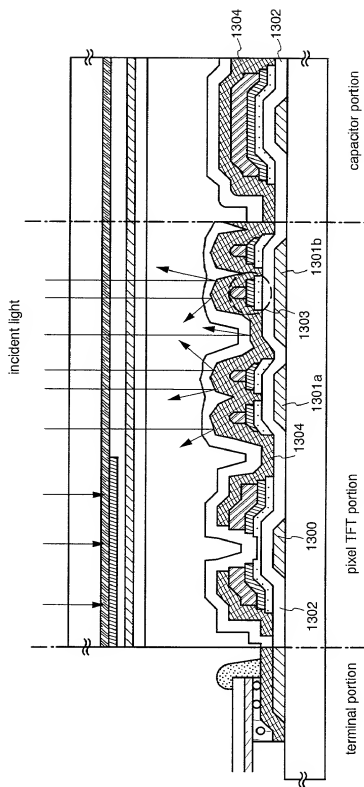


Fig. 26



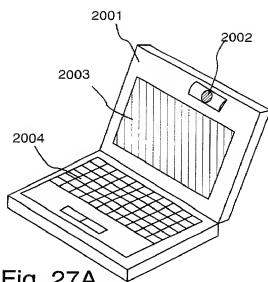


Fig. 27A

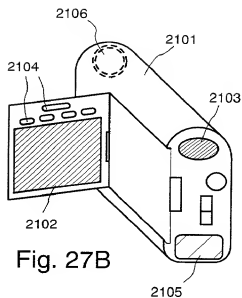


Fig. 27B

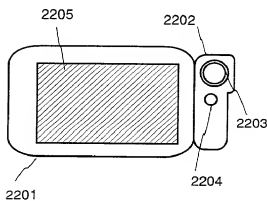


Fig. 27C

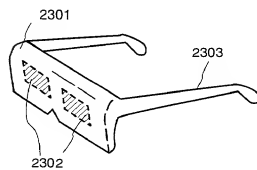


Fig. 27D

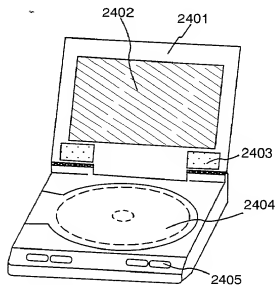


Fig. 27E

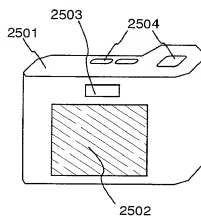


Fig. 27F

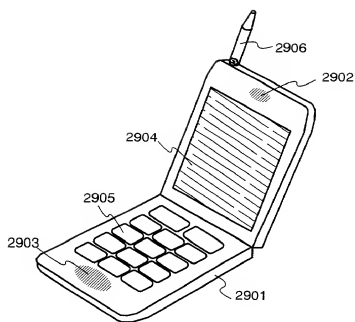


Fig. 28A

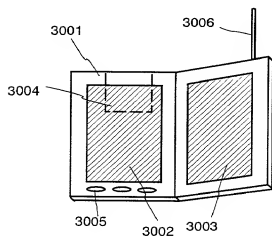


Fig. 28B

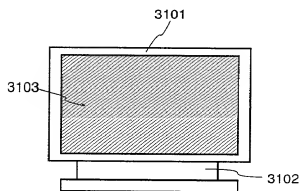


Fig. 28C

Fig. 29

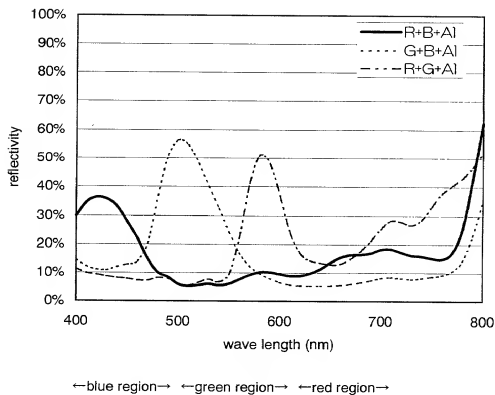


Fig. 30 prior art

